

## تولید ناخالصی نوع N در کریستال سیلیکن با استفاده از واکنش نوترونهای حرارتی

سید علی میر عشقی

دانشگاه صنعتی شریف و سازمان انرژی اتمی ایران  
تهران، ایران

### چکیده

در این مقاله ابتدا ضمن مروری بر فرآیند ایجاد ناخالصی با نوترون (Neutron Transmutation Doping) NTD از نقطه نظر تئوری، روابط لازم جهت محاسبه مقاومت مخصوص کریستال (۵) برحسب پارامترهای برآوردی مانند زمان و شارنوترون استخراج وارائه شده است. همچنین روش انجام کار تابش دهی سیلیکن و ملاحظات مهم مربوطه و نیز مراها و کاربردهای NTD مورد مطالعه قرار گرفته است.

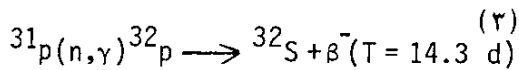
در پایان موضوع استفاده از امکانات تابش نوترون راکتور تحقیقاتی سازمان انرژی اتمی ایران به عنوان تولید ناخالصی در کریستال سیلیکن مطرح و عملی بودن آن در شرایط کار نامی راکتور نشان داده شده است.

با یکنواختی مطلوبی افزایش داد و در غالب موارد نایکنواختی در مقاومت مخصوص کریستال به حدود ۴۰ درصد می‌رسد (۱). از اوایل دهه ۱۹۷۰ استفاده از نوترونهای حرارتی راکتورهای تحقیقاتی به عنوان ابزاری برای افزایش ناخالصی نوع N در کریستال سیلیکن مورد توجه صنایع ساخت تریستورهای قدرت قرار گرفت. شایان ذکر است که این روش برای تولید ناخالصی قبلاً "توسط لارک هورویتس" (۲) و تانن بام (۳) پیشنهاد گردیده بود. در این روش که به NTD مشهور است،  $^{30}\text{Si}$  در واکنش با نوترون حرارتی "نهایتاً" به  $^{31}\text{P}$  که خود یک عنصر دهنده الکترون (Donor) می‌باشد تبدیل گردیده و کریستال خالص به نوع N تبدیل می‌شود. با طراحی مناسب

### مقدمه

اضافه کردن ناخالصی‌های نوع N و P به کریستال سیلیکن (Si) به عنوان یکی از عمده‌ترین مواد ساختمانی ادوات الکترونیکی نیمه‌هادی و سلولهای خورشیدی، تقریباً در تمامی کاربردهای مهم این عنصر امری اختیاب ناپذیر است. افزودن ناخالصی به نک کریستالهای FZ (Float Zone) ممکن است در حین جامدسازی ماده مذاب صورت گیرد و یا در مواردیکه پوشش یک لایه نازک سیلیکن بر روی فلز یا گرافیت مورد نظر باشد (سلولهای خورشیدی) (Chemical Vapor CVD) یا (Deposition) را با استفاده از هیدراتهای سیلیکن بکار گرفت. البته با این روش‌ها نمی‌توان دانسیته ناخالصی را در قسمت‌های مختلف کریستال

## سیدعلی میرعشقی . تولید ناخالصی نوع N در کربیتال سیلیکن



نیز صورت می‌گیرد که از نقطه نظر دانسیته ناخالصی نوع N که همان دانسیته اتمی فسفر می‌باشد ثانیتی ندارد، اما به لحاظ ایجاد رادیو پرتوزایی  $\gamma$  و  $\beta^-$  اضافی قابل ملاحظه می‌باشد.

از نقطه نظر کاربردی، پارامتر الکتریکی مبهمی که در فرآیند اضافه کردن ناخالصی به کربیتال مورد توجه است مقاومت مخصوص (۵) می‌باشد که نابع دانسیته حفره و الکترونهای آزاد موجود در کربیتال است. با استفاده از تعریف  $\rho$  و نیز معادله:  $\rho = n \cdot p = n^2$  (قانون اثر-جرم) که در آن  $n$  و  $p$  به ترتیب دانسیته الکترونهای آزاد و حفردها و  $\mu_p$  دانسیته ذاتی کربیتال می‌باشد، می‌توان نوشت:

$$\rho = n / \{e \cdot \mu_p (a n^2 + n_i^2)\} \quad (4)$$

در معادله فوق  $\frac{\mu_p}{\mu_n}$ ،  $a$  قابلیت حرکت حامل بارو e بار الکتریکی الکترون می‌باشد. چنانچه حاصلضرب شار نوترون φ در زمان تابشده t را با φ و حاصلضرب  $C_{TD}$  را با نمایش دهیم، دانسیته اتمهای ناخالصی نوع بخشنده (اتمهای فسفر) ناشی از واکنش نوترون برای سر  $C_{TD} = \Sigma \Phi$  می‌شود و در اینصورت باقی بار الکتریکی در کربیتال بصورت:

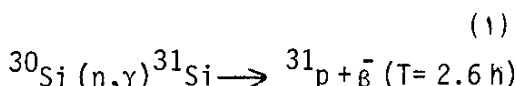
$$C_A + n = p + (C_{D0} + C_{TD}) \quad (5)$$

بيان می‌گردد که در آن  $C_A$  و  $C_{D0}$  به ترتیب دانسیته اتمهای بخشنده و پذیرنده قبل از تابش-دهی می‌باشد. اگر φ لازم برای خنثی کردن کامل اثرات ناخالصی‌های موجود در کربیتال (حالت  $n=p$ ) را با  $C$  نمایش دهیم، برای  $C$  با در نظر گرفتن معادله (۵) به تعریف زیر مرسیم:

شیوه تابش‌دهی سیلیکن می‌توان تلرانس در مقاومت مخصوص ( $\rho$ ) را به حدود ۵ درصد رسانید (۱)، کاربرد سیلیکن NTD در ساخت قطعات الکترونیک قادر است جمله دیودها مزایای زیادی، از جمله امکان دسترسی به ولتاژهای شکست بالاتر و نیز کنترل دقیق این ولتاژها را به همراه دارد (۴). همچنین استفاده از این نوع سیلیکن در ساخت سلولهای خورشیدی باعث افزایش راندمان خواهد شد (۵)، در بخش‌های زیر به بررسی نظری NTD، بحث پیرامون چگونگی تهیه آن، برتری‌ها و کاربردهای مهم آن و نیز امکان بیرون‌برداری از راکتور سازمان انرژی اتمی ایران بمنظور تهیه  $^{31}\text{Si}-\text{NTD}$  پرداخته خواهد شد.

### بررسی نظری

واکنش اصلی تولید کربیتال نوع N در فرآیند NTD، جذب نوترون‌های حرارتی توسط ایزوتوپ  $^{30}\text{Si}$  که با نسبت ۳/۰۵ درصد در سیلیکن معمولی موجود است و واپاشی  $\beta^-$  متعاقب آن می‌باشد.



در صورتیکه نمونه اولیه محتوی  $C_0$  اتم سیلیکن  $^{30}\text{Si}$  در واحد حجم بوده و برای مدت زمان t در معرض شار نوترون‌های حرارتی φ قرار گیرد، می‌توان نشان داد که دانسیته  $C_{TD}$  اتمهای ناخالصی حاصل (اتمهای فسفر) از رابطه تقریبی زیر محاسبه می‌گردد:

$$C_{TD} = C_0 \cdot \sigma_C \cdot \phi \cdot t \quad (2)$$

در رابطه فوق  $\sigma_C$  سطح مقطع موثر جذب نوترون  $^{30}\text{Si}$  می‌باشد و  $C_0$  با درنظر گرفتن فراوانی ۲/۰۵ درصد ایزوتوپ  $^{30}\text{Si}$ ، برابر  $^{21}\text{Cm}^{-3}$ ، برابر  $1/52 \times 10^{21} \text{ cm}^{-3}$  بدست خواهد آمد، ضمناً "واکنش جانبی زیر" :

بسادگی می‌توان نشان داد که در اینصورت عبارت  $\Phi_C$  به شکل زیر قابل بیان است:

(۹)

$$\Phi_C = (C_A - C_{D0}) / \Sigma \quad (6)$$

در اینصورت معادله (۵) را می‌توان به شکل زیر نوشت:

$$n_i^2 + n \cdot \Sigma (\Phi_C - \Phi) - n_i^2 = 0 \quad (7)$$

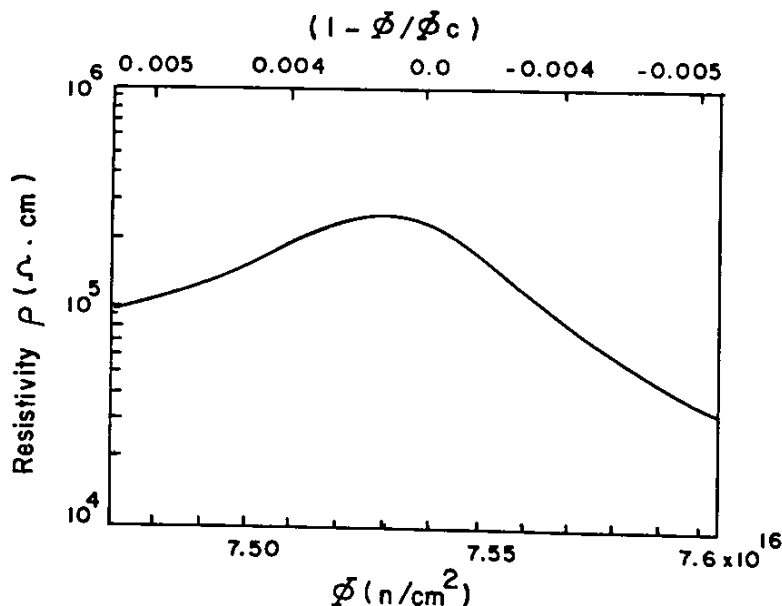
که در آن  $(e \rho_0 \mu_p)^{1/2} = K$  می‌باشد. تغییرات  $\rho$  بر حسب  $\Phi$  و نیز  $(\Phi_C - \Phi)$  برای یک کریستال با مقاومت مخصوص اولیه  $\rho_0 = 1000 \Omega \cdot \text{cm}$  در حوالی  $\Phi - \Phi_C$  در شکل ۱ نشان داده شده است. ملاحظه می‌گردد که در نتیجه تابشدهی ابتداء  $\rho$  رو به افزایش گذارده و روند رو به کاهش آن اندکی قبل از  $\Phi = \Phi_C$  آغاز می‌شود. در اینصورت رسیدن به مقادیر  $\rho$  کمتر از  $\rho_0$  تنها در  $\Phi$  های بزرگتر از  $\Phi_C$  میسر می‌باشد. همچنین مطالعه یکنواختی  $\rho$  با محاسبه کمیت  $\frac{\Delta \rho}{\rho}$  به کمک معادلات فوق ممکن می‌باشد. در شکل ۲ تغییرات  $\frac{\Delta \rho}{\rho}$  بر حسب نسبت دانسیته اتمهای

که با حل آن دانسیته الکترونیهای آزاد بصورت ثابعی از  $\Phi$  و  $\Phi_C$  بصورت زیر بدست می‌آید:

(۸)

$$n = \frac{\Sigma}{2} \{ (\Phi - \Phi_C) + \sqrt{(\Phi - \Phi_C)^2 + (2n_i/\Sigma)^2} \}$$

با جایگزینی  $n$  از رابطه فوق در (۴)، مقاومت مخصوص کریستال تحت تابش قرار گرفته، محاسبه می‌گردد. در عمل بجای پارامترهای  $C_A$  و  $C_{D0}$  کریستال اولیه از مقاومت مخصوص  $\rho_0$  آن که به آسانی قابل اندازه‌گیری می‌باشد، استفاده می‌کنند.



شکل ۱- تغییرات مقاومت مخصوص بر حسب تغییر  $\Phi/\Phi_C$ .

## سیدعلی میرعشقی ، تولید ناخالصی نوع N در کریستال سیلیکن

ساده‌تری برای محاسبه  $\Phi$  لازم جهت رساندن مقاومت مخصوص کریستال به مقدار جدید  $\rho$  بودست آورد. برای این منظور از معادله زیر:

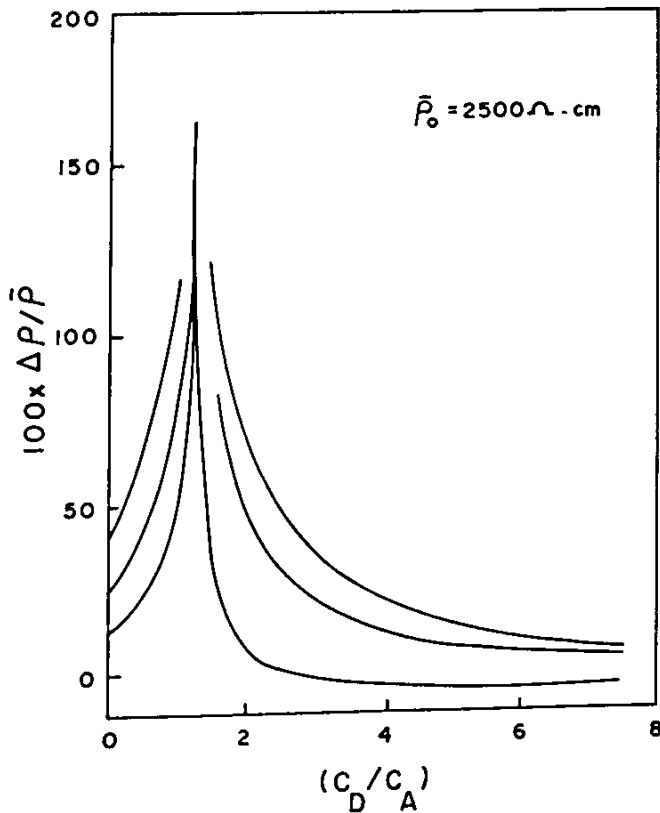
$$\Phi \Sigma = C_D - C_{D0} \quad (10)$$

که در آن  $C_{D0}$  و  $C_D$  به ترتیب دانسیته اتمهای بخشندۀ قبل و بعد از تابشده‌ی می باشند استفاده شده است. چنانچه  $C_{D0}$  و  $C_D$  بر حسب مقاومت‌های مخصوص  $\rho_0$  و  $\rho$  در معادله (10) قرار داده شود، خواهیم داشت:

$$\Phi = \frac{1}{e \sum \mu_n} \left( \frac{1}{\rho} - \frac{1}{\rho_0} \right) \quad (11)$$

ناخالصی نوع N به اتمهای ناخالصی نوع P که با پارامتر  $\frac{C_D}{C_A} = Q$  مشخص گردیده، برای یک کریستال نوع  $N$ ،  $P_0 = 2500 \Omega \cdot \text{cm}$  رسم گردیده است (۶). مشاهده می شود که قبل از جبران (Compensation) دقیق اثر ناخالصی‌های نوع P توسط اتمهای فسفر (ناخالصی نوع N) یعنی در محدوده  $Q < 1$  استفاده از NTD باعث افزایش نایکنواختی در  $\rho$  می گردد. در حالیکه پس از تبدیل کریستال به نوع N ( $Q > 1$ ) کاهش می یابد و برای  $Q > 2$  از میزان نایکنواختی اولیه  $\rho_0$  درصد نیز کمتر می شود.

در مواردیکه کریستال قبل از تابشده از نوع N با مقاومت مخصوص اولیه  $\rho_0$  باشد می توان رابطه



شکل ۲- تغییرات خطای نسبی در مقاومت مخصوص بر حسب تغییر نسبت دانسیته اتمهای ناخالصی‌های نوع N و P (مرجع ۶).

مشخص، بیشتر بودن مقدار  $\Phi$  میزان پرتوزایی ناشی از  $p_{32}$  را کاهش خواهد داد (۹). ۲- لازم است از اثرات حرارتی تابش ۲ در سیلیکن از طریق خنک نمودن قطعه جلوگیری نمود. درجه حرارت داخل سیلیکن باید از  $5^{\circ}C$   $145^{\circ}$  بیشتر شود، بهمین منظور غالباً استوانه های سیلیکن را در داخل آب قرار می دهند، از آنجا که یکنواختی تولید ناخالصی یکی از مهمترین مشخصه های NTD می باشد، لازم است که عواملی که بطریقی موجب کاهش آن می گردند حذف شوند، برای نیل باین هدف با توجه به مناسب بودن دانسته ناخالصی با شارنوترون، باید برای جبران نایکنواختی شار در جهت ارتفاع استوانه سیلیکن و نیز در درجه شعاعی آن اقدام نمود، استوانه سیلیکن بسته به محل قرار گرفتن آن و ابعادش در مقایسه با قلب راکتور، تغییرات شار نوترون با R و Z قلب را خواهد دید، در شکل ۴-الف چگونگی تغییرات شار نوترون برای یک استوانه سیلیکن که در قسمت پائین و در نواحی جانبی قلب قرار گرفته بطور شماتیک نشان داده شده است. تقریباً در تمامی راکتورها برای یکنواخت نمودن شار در نقاط مختلف درجه شعاعی مکانیزم مناسبی برای چرخاندن استوانه و یا قوطی محتوى آن حول محور قائم خود پیش بینی می نمایند، در مورد تغییرات در جهت محور Z می توان در نیمی از زمان تابش دهی، استوانه را به صورت واژگون قرار داد، این عمل باعث می شود که تغییرات  $\Phi$  در جهت طول استوانه تا حد زیادی کاهش یابد (شکل ۴-ب) . همچنین برای اینکه تولید ناخالصی از روش NTD در مقایسه با روش های دیگر بنحو چشمگیری یکنواخت تر انجام گیرد، ضروری است مقاومت مخصوص کریستال اولیه حداقل از ۵ برابر مقاومت مخصوص مورد نظر برای سیلیکن NTD کمتر

که با در نظر گرفتن  $C = 0.5$  و جایگزینی مقادیر پارامترها، رابطه (۱۱) بصورت زیر در می آید:

$$\Phi = \frac{2.56 \times 10^{-6}}{\sigma_C} \left( \frac{1}{\rho_0} - \frac{1}{\rho} \right) \quad (12)$$

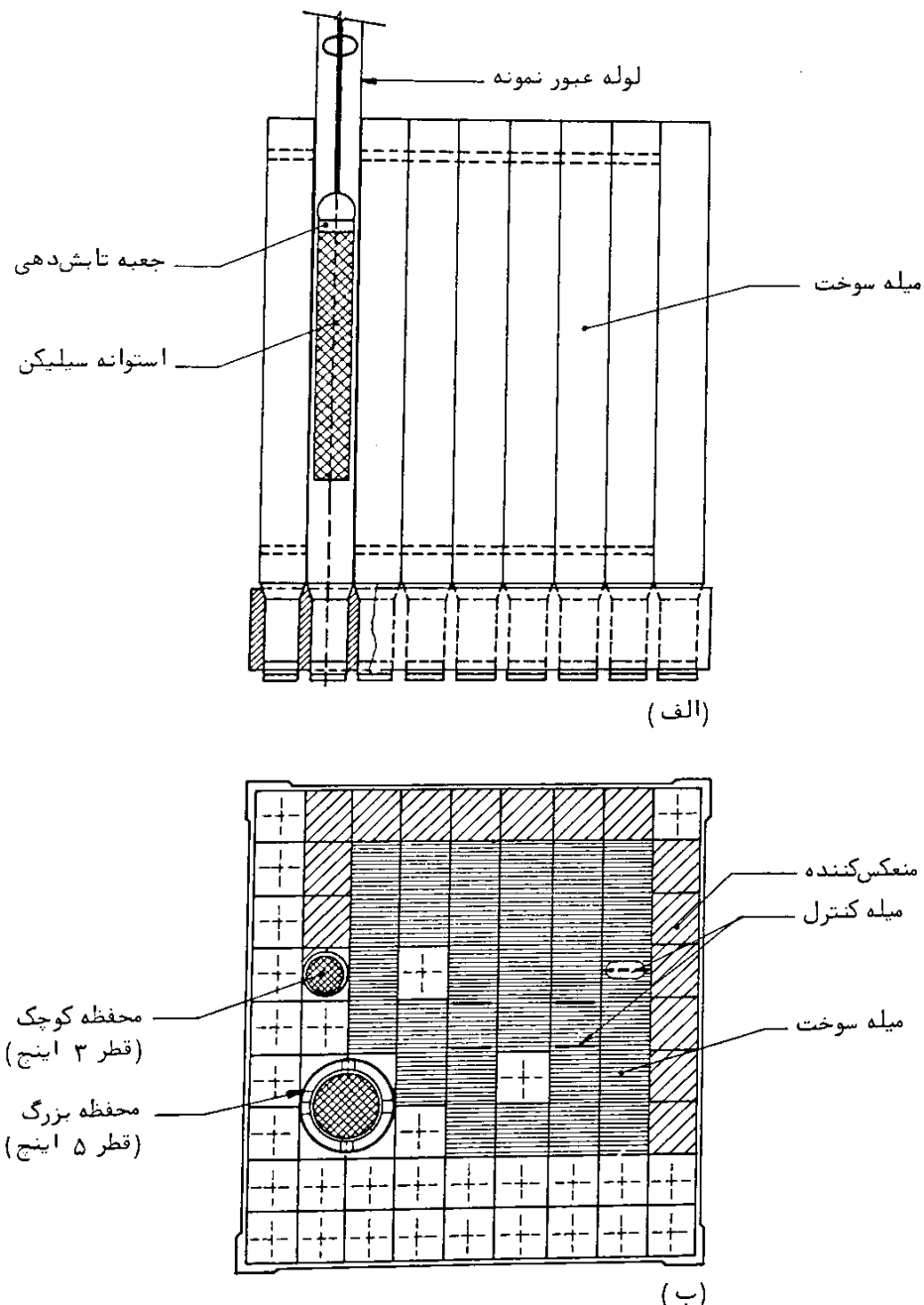
$\Phi$  در واقع سطح مقطع وست کات (Westcott) جذب نوترون مربوط به  $30Si$  می باشد.

### روش تهیه Si-NTD

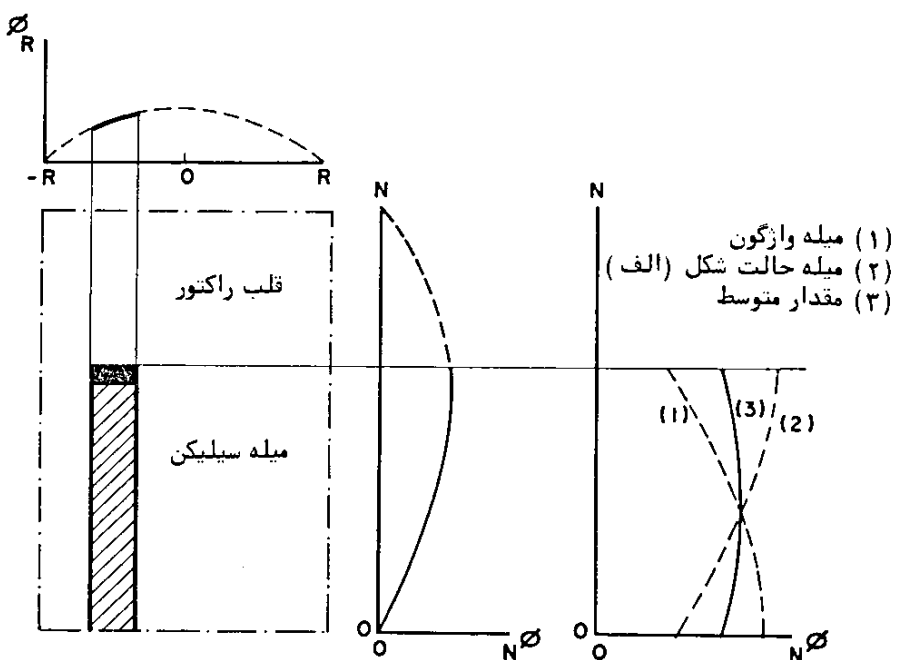
تولید ناخالصی در Si از طریق NTD امروزه در زمرة یکی از فعالیتهای مهم بسیاری از راکتورهای تحقیقاتی جهان قرار گرفته است. در بعضی از این راکتورها سالانه مقادیری در حدود  $20-30$  تن سیلیکن تابش دهی شده و در اختیار صنایع مصرف کننده آن قرار می گیرد. حتی در راکتورهای با قدرت پائین با شار نوترون متوسط حدود  $2 \times 10^{12} n.cm^{-2}.S^{-1}$  با صرف وقت طولانی برای تابش دهی (زمان حدود ۳۵ ساعت) اقدام به تهیه Si-NTD می گردد (۷). نمونه های مورد نظر برای تابش دهی به صورت فرمهای نازک (تولید آزمایشگاهی) و یا استوانه هایی با ابعاد مناسب برای جا گرفتن در محلهای از پیش تعیین شده در قلب راکتور می باشند. در شکل ۳ نحوه قرار گرفتن قطعات استوانه ای شکل سیلیکن در کنار قلب یک راکتور تحقیقاتی نمایش داده شده است. برای حفاظت بیشتر سطح قطعات، آنها را در ورقه های آلومینیومی پیچیده و در قوطی های مخصوص تابش دهی قرار می دهند، در انتخاب نقطه مناسب در قلب راکتور برای قرار دادن قطعات کریستال دو نکته را باید در نظر گرفت:

۱- با اندازه گیری  $\Phi_{th}$  و  $\mu$  در چند نقطه، محلی را انتخاب نمود که در آن  $\mu / \Phi_{th}$  حداقل  $\phi$  باشد. این موضع از نقطه نظر حداقل کودن ضایعات ناشی از نوترون های سریع حائز اهمیت می باشد. علاوه بر آن برای رسیدن به یک  $\mu$

سید علی میر عشقی . تولید ناخالصی نوع N در کریستال سیلیکن



شکل ۳ - محل قرار گرفتن میله سیلیکن در قلب راکتور تحقیقاتی SAPHIR در سوئیس (مرجع ۸) .



شکل ۴- تغییرات شارپوترون در جهت طولی و شعاعی میله سیلیکن (الف) و نحوه جبران آن (ب) : در شکل (ب) منحنی ۳ نمایانگر مقدار متوسط شارپوترون در طول میله در مدت زمان تابشده می باشد

می پذیرد ، در بعضی از راکتورها از آشکارساز نوترون SPND استفاده می شود ، در اینصورت می توان با بکار گرفتن پردازشگر الکترونیک مناسب سیگنال SPND را انگرال گیری نمود . در این حالت چنانچه SPND قبل "کالیبره شده باشد (با سیم کیالت) خروجی انگرال گیر مستقیماً همان  $\Phi$  خواهد بود . همچنین ممکن است مکانیزمی طراحی نمود که پس از رسیدن  $\Phi$  بمقدار مشخص مورد نظر ، قطعه سیلیکن را از قلب راکتور خارج نماید . بمنظور جلوگیری از ایجاد پرتوزایی ناشی از فعل شدن آلودگی های سطحی سیلیکن باید قبل از پرتو دهی ، قطعه را به دقت تمیز نمود ، در اینصورت در پایان تابشده تنهای پرتوزایی قابل ملاحظه مربوط

نمایند . نکاه با استفاده از معادله (۱۲) مقادیر برای محاسبه  $\Phi$  مورد نیاز در مورد یک قطعه کریستال با  $5 \times 5$  مشخص ، معادله لازم همان رابطه (۱۲) می باشد که در آن ضریب بیرون پرانتر را با  $A$  نمایش داده و آنرا برای هر راکتور به روش تجربی تعیین می نمایند . برای اینکار چندین نمونه مختلف با  $5 \times 5$  های مشخص را با  $\Phi$  های معین تحت تابش قرار داده و سپس مقاومت مخصوص آنها را اندازه گیری می نمایند . آنکاه با استفاده از معادله (۱۲) مقادیر متعددی برای ضریب  $A$  مذکور بدست آورده و با متوسط گیری مناسب یک مقدار نهائی برای این ضریب مشخص می کنند ، اندازه گیری شار نوترون قبل از تابش دهی با استفاده از سیم کیالت صورت

میزان تولید اکسیژن (ناخالصی ناخواسته) توصیه نموده اند . شایان ذکر است که شرایط گرمادهی شامل درجه حرارت و مدت زمان آن و حتی شرایط داخل کوره ، تاثیر قابل توجهی در پارامترهای اساسی کریستال همچون میزان دانسیته ناخالصی نوع N و طول عمر حاملهای اقلیت (minority carrier lifetime) دارد . در این زمینه مطالعات نسبتاً وسیعی صورت گرفته است (۵ و ۶) . در مورد وضعیت های پرتودهی مختلف (نسبت شار نوترون حرارتی به سریع ) شرایط حرارت دهی مختلفی برای رسیدن به مقاومت مخصوص پیش بینی شده گزارش گردیده است . در حالیکه ضایعات ناشی از اثرات پرتوهای گاما در دماهای حدود ۲۰۰ نا ۳۰۰ درجه سانتیگراد ترمیم می باشد ، برای از بین بردن جابجایی های (dislocation) ایجاد شده ناشی از اثر نوترونهای سریع و نیز حفره های اکسیژن (oxygen vacancy) به دماهای بیشتر و در مدت زمان های طولانی تری نیاز می باشد .

مطالعه تغییرات مقاومت مخصوص بر حسب درجه حرارت در حرارت دهی های با طول زمان مساوی (isochronal) نوسانات زیادی را نشان می دهد . در شکل ۵ این تغییرات برای یک نمونه نوع p با مقاومت مخصوص اولیه ۵۲۵۰  $\Omega \cdot cm$  نمایش داده شده است . نمونه تابش داده شده در لحظات اولیه پس از تابش دهی ، نوع P می باشد ولی با افزایش دما ابتدا مقاومت مخصوص کاهش یافته و در حوالی  $600^{\circ}C$  شروع به افزایش می نماید . در دمای حدود  $725^{\circ}C$  کریستال به نوع N تبدیل گردیده و در دماهای بالاتر از  $750^{\circ}C$  به وضعیت پایدار رسیده و مقاومت مخصوص آن به مقدار پیش بینی شده توسط پارامترهای پرتودهی یعنی  $100 \Omega \cdot cm$  می رسد (۶) .

به ایزو توپهای p<sup>31</sup> و p<sup>32</sup> خواهد بود که اولی با نیمه عمر ۲/۶ ساعت پس از یکی دور روز عمل "از بین رفته و در مورد دومی با توجه به داشتن نیمه عمر ۱۴/۳ روز ، برای رسیدن به سطح مجاز به چهار روز وقت نیاز دارد . در عمل مرحله نهایی آماده سازی Si-NTD که ترمیم ضایعات کریستالی ناشی از پرتودهی می باشد معمولاً چهار و یا پنج روز پس از اتمام پرتودهی انجام می گیرد .

#### ترمیم ضایعات

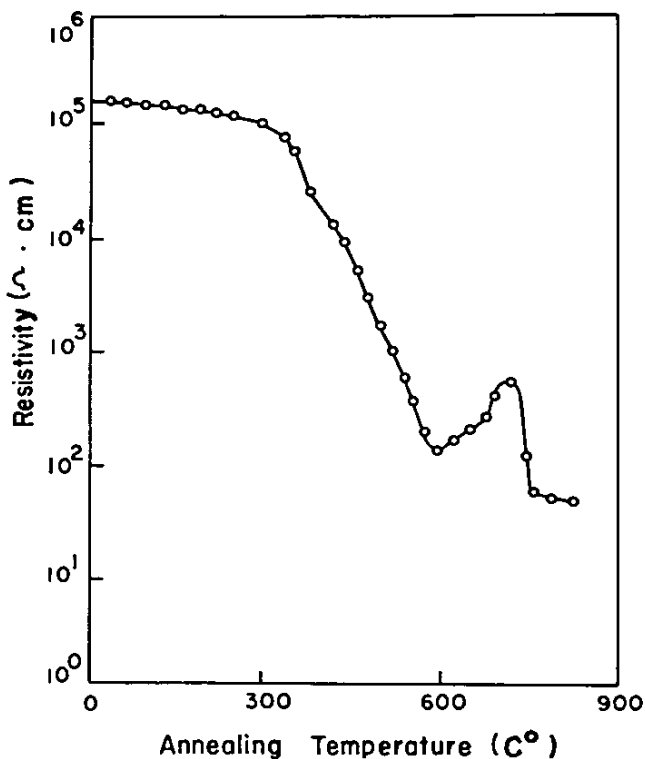
تولید ناخالصی در کریستال به روش NTD با ایجاد ضایعات (defects) در ساختمان کریستالی قطعه سیلیکن همراه است ، که قبل از ترمیم آنها هیچیک از خواص الکتریکی مورد نظر قابل مشاهده نخواهند بود .

این خرابیها ناشی از اثر تابش های مختلف هسته ای موجود می باشد که مهمترین آنها عبارتند از (۱۰) ۱- ضایعات نقطه ای (Point defect) که بنظر می رسد "عدم تراست" بدنیال هسته های سرگشته (recoil) ناشی از واکنش (۱۱، ۱۲) نوترونهای حرارتی بوجود می آیند .

۲- ضایعات خوشای گستردگی که برخورده های متواالی نوترونهای سریع بعنوان عامل ایجاد آنها شناخته شده اند .

برای ترمیم ضایعات مذکور ، سیلیکن پرتوداده شده را برای مدتی در کوره های خلا<sup>۳</sup> یا حاوی گاز آرگون (Ar) در دمای ۸۰۰ - ۷۰۰ درجه سانتیگراد حرارت می دهند (annealing) . در مورد مدت زمان لازم ، بستگی به ابعاد قطعه سیلیکن و میزان پرتودهی ، مقادیری از یک ساعت تا حدود بیست ساعت گزارش شده است .

در بعضی از گزارشها پائین آوردن سریع دمای قطعه تا حدود ۲۰۰ درجه سانتیگراد را برای تقلیل



شکل ۵- تغییرات مقاومت مخصوص بر حسب تغییرات دما در حرارت دهی های با زمان مساوی برای یک کریستال نوع P با مقاومت مخصوص اولیه  $5250 \Omega \cdot \text{cm}$  و مقدار نهائی (مرجع ۱۰):

یکنواختی این توزیع شوند از قبیل تغییرات شار-

نوترون به روشهای که قبلاً "توضیح داده شد قابل خنثی شدن می باشند، در شکل ۶ این مسئله با مقایسه تغییرات مقاومت مخصوص در طول یک ورقه (Wafer) سیلیکن برای دو روش تولید ناخالصی، یکی به طریق معمول و دیگری به روش NTD نشان داده شده است (۱۰).

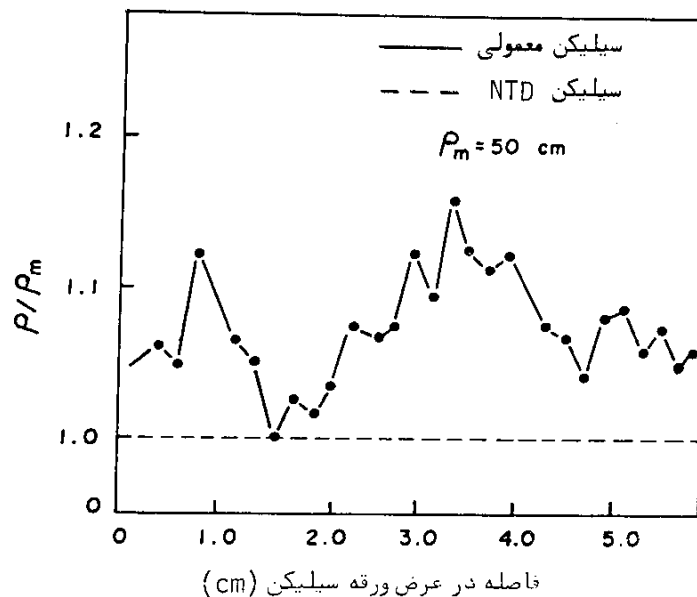
همانطور که ملاحظه می گردد، مقاومت مخصوص نهایی در روش NTD که با خطوط بربده نشان داده شده در طول ورقه ثابت است و یا در حقیقت تغییرات آن ناچیز بوده و در محدوده خطای آزمایش قرار

#### مزایا و کاربردها

مزایای عمدۀ NTD را می توان در سه بند زیر خلاصه نمود:

- تولید ناخالصی با یکنواختی سطحی و فضائی بسیار مطلوب.
- امکان کنترل دقیق میزان ناخالصی تولید شده.
- وارد نکردن ناخالصی های ناخواسته مثل اتمهای سنگین به کریستال.

علت برتری اول در واقع توزیع تصادفی اتمهای NTD فسفر تولید شده در سیلیکن در فرآیند باشد. البته عوامل دیگری که ممکن است باعث



شکل ۶- نمایش تغییرات مقاومت مخصوص در سیلیکن (مرجع ۱۰) .

مسئله روش است که مقادیر بسیار کمی از ناخالصی- هایی از قبیل Ag، Au و Cu باعث کاهش عمر حاملهای اقلیت (MCL) می‌گردد (۵) . از این جهت فرآیند NTD در تهیه سلولهای خورشیدی که در آنها حداکثر نمودن MCL به لحاظ بالا بردن راندمان تبدیل انرژی از اهمیت ویژه‌ای برخوردار است کار- برد فراوانی یافته است . همچنین ، نقش یکنواختی سطحی و فضایی دانسیته ناخالصی در افزایش راندمان مذکور در سلولهای خورشیدی را نمی‌توان از نظر دور داشت ، از آنجا که دقیق در میزان ناخالصی در نمونهای با ابعاد کوچک نا حدود یک درصد نیز قابل کنترل می‌باشد ، ایجاد مقاومت‌های مخصوص بیشتر از یکصد هزار اهم سانتی متر از طریق خنثی نمودن اثر وجود رگه‌های ناخالصی بر (B) باقیمانده در کریستالهای خالص ، به روش NTD میسر می‌باشد .

دارد ، در حالیکه در روشهای معمولی این تغییرات به حدود ۱۵ تا ۲۵ درصد می‌رسد . این یکنواختی در میزان ناخالصی از اهمیت بسیار شایانی برخوردار بوده و در حقیقت پشتونه محکمی برای بکارگیری این روش در تامین کریستال پایه مورد تیاز تکنولوژی تولید مدارات متحتم الکترونیکی می‌باشد .

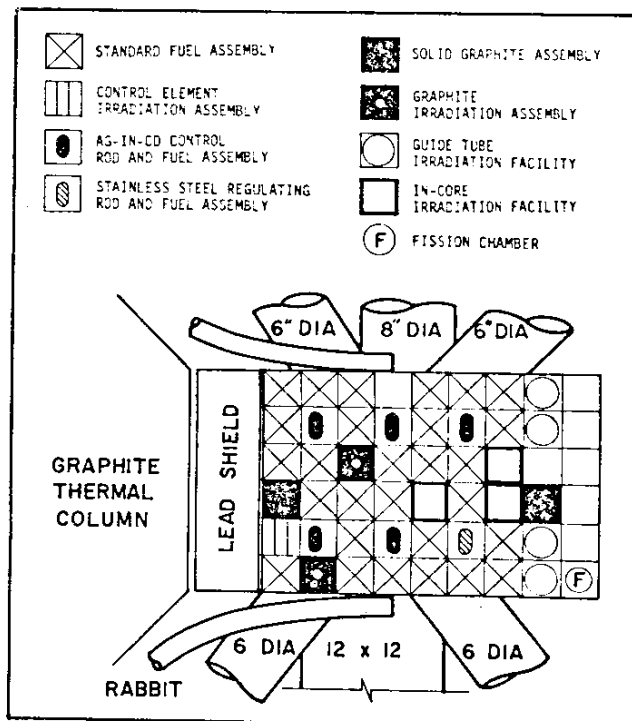
در مورد قابلیت کنترل دقیق سطح ناخالصی تولیدی با توجه به وابستگی دانسیته اتمهای فسفر ایجاد شده به شار نوترون و زمان پرتودهی ، با اندازه‌گیری دقیق این دو کمیت واستفاده از فرمول (۸) می‌توان دانسیته حاملهای آزاد تولید شده را به دقیق پیش‌بینی نمود . در نک کریستال سیلیکن اندازه‌گیریهای بعدی این پیش‌بینی را دقیقاً تائید می‌کند (۱۰) .

از دیگر مزایای ذاتی NTD این است که هیچ‌گونه ناخالصی مزاحمی در کریستال تولید نمی‌شود . این

لحاظ حرارتی نبودن نوترونهای تولیدی و نیز شار-  
نوترونی پائین، بکارگیری آنها در NTD عملی نخواهد  
بود. مثلاً "در شتاب دهنده واندوگراف سازمان  
انرژی اتمی امکان دستیابی به نوترونهای حرارتی از  
طریق کند کردن نوترونهای تولیدی تنها در شار  
حدود:  $S \cdot cm^{-2} \cdot n^{-1}$  فراهم می‌باشد.  
در اینصورت تنها چشمۀ نوترونی قابل قبول سرای  
پرتودهی سیلیکن، راکتور اتمی سازمان انرژی اتمی  
می‌باشد. این راکتور تحقیقاتی از نوع استخری و با  
قدرت ۵ مگاوات و سوخت آن به صورت صفحاتی از  
جنس آلیاژ آلومینیوم و اورانیوم غنی شده است.  
در شکل ۷ قلب این راکتور نشان داده شده است.  
در این شکل کانالهای نوترون و لوله‌های پرتودهی

این کربستال‌های پر مقاومت در ساخت انواع آشکار-  
سازها، منجمله آشکارسازهای پرتوهای X، ۲، بتا و  
آلfa کاربرد دارند (۶). همچنین در ساخت  
رکنیفایرها سیلیکن و نیز تریستورهای با قدرت و  
ولتاژ بالا، استفاده از Si-NTD نه تنها باعث  
افزایش میزان تولید می‌شود بلکه باعث کنترل  
دقیق‌تر ولتاژهای شکست بی‌همنی و نیز دستیابی به  
ولتاژهای شکست بالاتر گردیده است (۱۱ و ۴).

بررسی امکانات تهیه Si-NTD در ایران  
گرچه استفاده از چشمدهای نوترون و یا باریکه  
نوترون تولید شده در شتاب دهنده‌ها در بسیاری از  
موارد پرتودهی می‌تواند مورد نظر قرار گیرد، اما به



شکل ۷- یک آرایش نمونه قلب و امکانات تابش‌دهی  
راکتور تحقیقاتی سازمان انرژی اتمی ایران (مرجع ۱۲).

سید علی میر عشقی . تولید ناخالصی نوع N در کریستال سیلیکن

دقیق شارنوترونهای حرارتی ( $\phi_{th}$ ) و سریع ( $\phi_f$ ) در نقاط مختلف محلهای مذکور می‌باشد . در واقع ممکن است که برای ایجاد یک نسبت  $\phi_f/\phi_{th}$  مطلوب ناگزیر از اعمال تغییراتی در شرایط محلهای فوق بمنظور حرارتی ترکدن نوترونها باشیم . بعنوان مثال ممکن است نمونه‌ها را در کانال نوترون پر از آب در یک فاصله‌ای دورتر از قلب قرار دهیم که در اینصورت شارنوترون به میزان قابل ملاحظه‌ای از مقدار تعیین شده در جدول ۱ کمتر خواهد بود . در هر حال در صورتیکه سخت از شرایط مناسبی برای کار راکتور در توان حداکثر و با برنامه زمانی قابل قبول برخوردار شود ، پژوهه پرتودهی سیلیکن می‌تواند بعنوان یکی از فعالیتهای راکتور سازمان مورد توجه قرار گیرد .

نمونه‌ها در قلب به چشم می‌خورند . علاوه بر اینها ستون حرارتی نیز وجود دارد که در آن نوترونها پس از عبور از یک ستون گرافیتی کاملاً "حرارتی" می‌شوند . شارنوترون و آهنگ دز (dose rate) پرتوهای گاما در محلهای مختلف قلب راکتور در توان حداکثر ۵ مگاوات را می‌توان در جدول شماره ۱ مشاهده نمود . براساس این مقادیر با در نظر گرفتن رابطه (۱۲) ، برای رسیدن به  $20 \text{ Gy} / \text{cm}^2$  در یک کریستال سیلیکن با  $1000 \text{ cm} = 1000 \text{ cm}$  زمان تقریبی لازم در محل کانالهای نوترون و حفره آب به ترتیب حدود ۱۵ و  $1/5$  ساعت محاسبه می‌گردد . بدین ترتیب در این راکتور اساساً "امکان پرتودهی سیلیکن وجود دارد . البته نسبت  $\phi_f/\phi_{th}$  را نیز نباید از نظر دور داشت و آگاهی از آن مستلزم اندازه‌گیریهای

جدول ۱- شارنوترون حرارتی و میزان دز گاما در محلهای مختلف راکتور (۱۲)

میزان دز گاما Gy/hr	شارنوترون حرارتی $n/cm^2 \cdot s$	محل
$10^6$	$2 \times 10^{13}$	کانال نوترون
$10^{10}$	$1 \times 10^{14}$	لوله‌های داخل قلب
$10^6$	$2 \times 10^{13}$	کناره قلب (Core Face)
$10^7$	$2 \times 10^{14}$	حفره آب (Water hole)
—	$1 \times 10^{10}$	ستون حرارتی

### References

1. M. Pawlowska, A. Bukowski, S. Strzelecka and P. Kaminski, Investigation of Heterogenaties in Neutron Transmuted Single Crystal, IAEA-TECDOC 456, 120 (1985).
  2. K. Lark-Horwitz, Nuclear Bombarded Semiconductor Materials, Butterworths, London, 47 (1951).
  3. M. Tanenbaum and A.D. Miolis, J. Electrochem. Soc. 108, 276 (1964).
  4. H.M. Janus and O. Malmros, Application of Thermal Neutron Irradiation for Large Scale Production of Homogeneus Phosphorus Doping of Floatzone Silicon, IEEE trans. Electron Devices, ED-23, 8, 797 (1976).
  5. J.W. Clealand, R.D. Westbrook, R.F. Wood and R.T. Young, Neutron Transmutation Doping of Polycrystalline Silicon, CONF-760529-1, 1 (1976).
  6. J.M. Meese, D.L. Cowan and M. Chandrasekhar, A Review of Transmutation Doping in Silicon, IEEE Trans. Nuclear Science, NS-26, 6, 4858 (1979).
  7. V. Dimic, Neutron Tramsutation Doping of Silicon in the 250 KW TRIGA Reactor in Ljubljona, IAEA-TECDOC-456, 88 (1985).
  8. H. Winkler, Silicon Irradiation at SAPHIR, IAEA-TECDOC-456, 29 (1985).
  9. J. Koziel and K. Pytel, Neutron Doped Silicon in Polish Research Reactors, IAEA-TECDOC-456, 42 (1985).
  10. R.F. Wood, R.D. Westbrook, R.T. Young and J.W. Clealand, Transmutation Doping of Silicon Solar Cells, CONF. 770439-1, 1 (1977).
  11. W.E. Hass, J.S. Schroller, J. Electronic Materials, 5, 1, 57 (1976).
- ۱۲-گزارش آنالیز اینمنی (SAR) راکتور سازمان انرژی اتمی ایران، صفحه ۱۹ (۱۹۶۶) .

AEOI Scientific Bulletin  
No.9, pp. 19-32, (1989)  
Printed in Iran

## NEUTRON TRANSMUTATION DOPING OF SILICON

A. Mireshghi  
Sharif University of Technology  
and  
Atomic Energy Organization of Iran  
Tehran, Iran

### Abstract

After a brief review of the theoretical bases for Neutron Transmutation Doping (NTD) process, the equations necessary for calculation of doped crystal resistivity ( $\rho$ ) in terms of parameters of irradiation, such as time and neutron flux, are derived. The procedure for production of NTD-Si is described, important considerations are outlined and the advantages and applications are introduced. Also, an assessment is made of the practicality of using AEOI Research Reactor thermal neutron irradiation facilities for production of NTD-Si, which is concluded to be possible at reactor nominal operating conditions.